

(42)

針状カルシウムフェライトの生成機構

(焼結反応過程の動的解析 - II)

新日本製鐵(株) 製鉄研究センター 肥田行博, 伊藤 薫

○岡崎 潤, 佐々木稔

I 緒言 : 焼結過程での針状カルシウムフェライト(CF)の生成機構については、固相反応、液相からの晶出²⁾、固-液反応³⁾などの説があり明確でない。走査電顕による生成過程の直接観察では、融液の生成が重要と考えられた⁴⁾。そこで、焼結過程ではいずれの生成機構が支配的か検討することにした。

II 実験方法 : ①固相反応: Fig. 1 の如く前報の鉱石 A (緻密質、脈石:石英) の表面に CaO 粉末を圧着させ、空気気流中で加熱した。所定時間経過後放冷して断面を研磨し、EPMAで生成鉱物の同定などを行った。②融液からの晶出: 針状 CF が生成するとされている組成 ($Fe_2O_3: 6.5\%$, $CaO: 2.2\%$, $SiO_2: 8.8\%$, $Al_2O_3: 4.2\%$) の融液²⁾を $1300^{\circ}C$ から冷却し、冷却過程を走査電顕(ダイナミック SEM)⁴⁾で観察した。③固-液反応: 前報と同様に、鉱石 A の表面に CaO 粉末を付着させて加熱し、走査電顕を用いて鉱物相生成過程の観察を行った。

III 実験結果と考察 : ①固相反応: 生成する CF は $2CaO \cdot Fe_2O_3$ と $CaO \cdot Fe_2O_3$ であった。前者はごく少量だったので、Fig. 1 には後者の生成速度を示した。 $CaO \cdot Fe_2O_3$ 層厚の増加は 10 min に 10μ 以下とわずかなものである。形状は、試薬の Fe_2O_3 -CaO の場合⁵⁾と同様に焼結鉱中针状 CF とは大きく違っていた。よって、この CF は融液生成の起点となる可能性はあるものの、焼結鉱のものとは本質的に異なるといえる。

②融液からの晶出: 走査電顕像では樹枝状結晶の集合体であり、焼結鉱中 CF とは立体構造が違っていた。③固-液反応: 走査電顕による直接観察結果の一例を Photo 1 に示す。鉱石表面が融液で覆われた直後、急速に冷却して融液を取り去ると、ヘマタイト粒子の表面に針状 CF の生成が認められる。融液面下での CF 生成を確認するために、Photo 1-(b)の状態を $1900^{\circ}C / S$ の速度で急冷した。その試料表面を希塩酸で腐食すると、Photo 2 のように、針状 CF が現われる。融液形成後ただちに针状 CF が生成することが明瞭である。さらに、EDXで測定した Photo 1 中 CF 表面の CaO / Fe_2O_3 モル比は $1/1$ 弱と、内部でのモル比 $1/2$ に比較して高く、CaO 分の高い融液で覆わっていたことを示していた。この組成の違いは焼結鉱中でも認められた。

以上の結果から、焼結鉱中针状 CF は、 SiO_2 , Al_2O_3 を若干含む Fe_2O_3 -CaO 系融液と鉄鉱石中 Fe_2O_3 が反応して生成すると結論される。

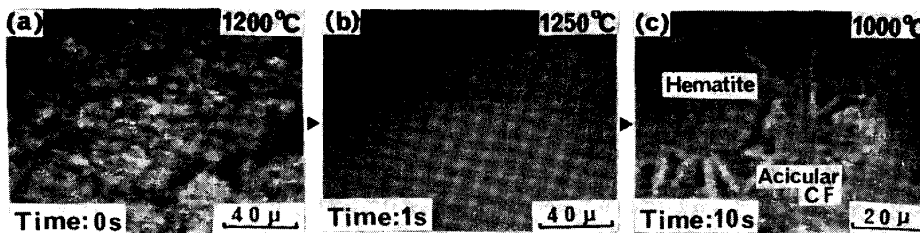


Photo. 1 In-situ observation of acicular Ca-ferrite formation

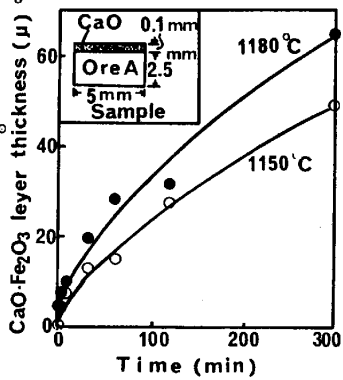
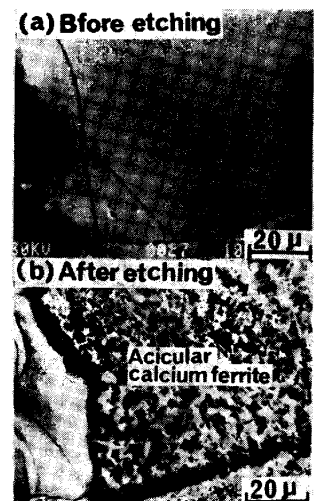
Fig. 1 Formation of $CaO \cdot Fe_2O_3$ by Solid state reaction

Photo. 2 Formation of acicular Ca-ferrite in melt

引用文献 (1) 池田ら: 鉄と鋼 67 (1981) P. 726 (2) 春名ら: 同誌, '83-S 123 (3) 佐々木ら: 同誌, 68(1982)

P. 563 (4) 肥田ら: 同誌, '84-S 819 (5) A. Van Sandwijk ら: Science of Ceramics 10 (1979), P. 403